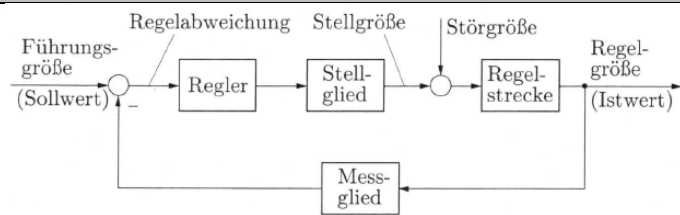


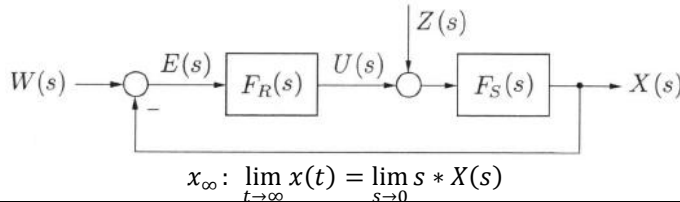
REGELN

Grundbegriffe

Standardregelkreis



station. Regelabweichung [%] $\lim_{t \rightarrow \infty} \frac{e(t)}{w_0} = \lim_{s \rightarrow 0} s \frac{E(s)}{w_0}$

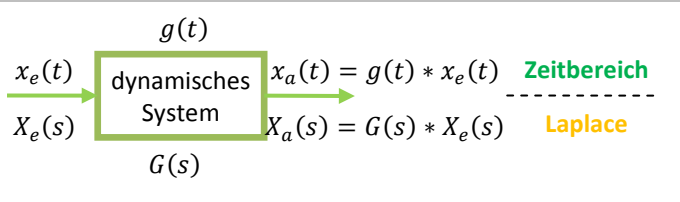


$x_\infty: \lim_{t \rightarrow \infty} x(t) = \lim_{s \rightarrow 0} s * X(s)$

$F_W(s)$ hat ein Doppelpol \rightarrow kein Überschwingen

| | |
|----------|---|
| $W(s)$ | Führungsgröße, Sollwert |
| $X(s)$ | Regelgröße, Istwert = $\frac{\text{durch Eingang}}{F_W(s) * W(s)} + \frac{\text{durch Störung}}{F_Z(s) * Z(s)}$ |
| $E(s)$ | Regelabweichung $E(s) = W(s) - X(s) = \frac{W(s)}{1 + F_O(s)}$ |
| $U(s)$ | Stellgröße |
| $Z(s)$ | Störgröße |
| $F_R(s)$ | Übertragungsfunktion des Reglers |
| $F_S(s)$ | Übertragungsfunktion der Regelstrecke |
| $F_O(s)$ | Übertragungsfunktion der offenen Regelschleife $F_O(s) = F_R(s) * F_S(s)$ |
| $F_W(s)$ | Führungsübertragungsfunktion (durch schliessen des Regelkreises) = $\frac{X(s)}{W(s)} = \frac{F_O}{1 + F_O}$ |
| $F_Z(s)$ | Störungsübertragungsfunktion (durch Störgröße Z(s)) = $\frac{X(s)}{Z(s)} = \frac{F_S}{1 + F_O}$ |

Systeme



Frequenzgang

$u(t) = \hat{u} \cos \omega t \xrightarrow{G(j\omega)} x(t) = \hat{x} \cos(\omega t + \varphi)$

$G(j\omega) = \frac{\hat{x}}{\hat{u}} * e^{j\varphi} = Re[G(j\omega)] + j * Im[G(j\omega)]$

$e^{j\omega t} = \cos \omega t + j \sin \omega t$

Zusammengesetzte Frequenzgänge

| | |
|---|---------------------|
| $G(j\omega) = G_1(j\omega) * G_2(j\omega)$ | grafisch addieren |
| $G(j\omega) = \frac{1}{G_1(j\omega)}$ | spiegeln an x-Achse |
| $\arg G(j\omega) = \arg G_1(j\omega) + \arg G_2(j\omega)$ | grafisch addieren |

Amplitudengang

Grenzwerte einzeichnen
 $\omega = 0 \quad \omega = \infty \quad \omega_k = 1/T$
 Abweichung bei Knickfrequ. = 3 dB
 Steigung = $\pm 20\text{dB/Dekade}$
 Durchstosspunkt ω_D

Phasengang

Phase = ± 1 Dekade
 Mitte = bei Knickfrequ. ω_k

DGL im Realen $a_n x_a^{(n)}(t) + \dots + a_1 \dot{x}_a(t) + 1 * x_a(t) = b_m x_e^{(m)}(t) + \dots + b_1 \dot{x}_e(t) + b_0 x_e(t)$

↑ Inverse Laplace
↓ Laplace

DGL im Laplace-Bereich $X_a(s) * (a_n s^n + \dots + a_1 s + 1) = X_e(s) * (b_m s^m + \dots + b_1 s + b_0)$ $m \leq n$

↑ Partialbruchzerlegung
↓ Identifikation

Übertragungsfunktion $G(s) = \frac{X_a(s)}{X_e(s)} = \frac{b_m s^m + \dots + b_2 s^2 + b_1 s + b_0}{a_n s^n + \dots + a_2 s^2 + a_1 s + 1}$ $G(s) = \mathcal{L}\{g(t)\} = \mathcal{L}\left\{\frac{x_a(t)}{x_e(t)}\right\}$

↑
↓ $s \rightarrow j\omega$
 $G(s) \rightarrow G(j\omega)$

Frequenzgang Amplitudengang Betrag $|G(j\omega)| = \sqrt{[Re G]^2 + [Im G]^2}$

Bodediagramm Phasengang Phase $\varphi(\omega) = \arctan \frac{[Im G]}{[Re G]}$ $\arg(G(j\omega)) = \arctan \left(\frac{Im Z}{Re Z}\right) - \arctan \left(\frac{Im N}{Re N}\right)$

Algebra von Blockschaltbildern

| Duch Vereinfachen | Mason-Regel |
|--|--|
| <p>Serienschaltung</p> | <ol style="list-style-type: none"> 1. P_i (Vorwärtspfade) definieren (Vorzeichen beachten) 2. C_i (Schleifenpfade) definieren (Vorzeichen beachten) 3. Π_i Produkt von Schleifen (Produkt der Berührende = 0) $\sum \Pi_1 = C_1 + C_2 + C_3$ $\sum \Pi_2 = C_1 * C_2 + C_1 * C_3 + C_2 * C_3$ $\sum \Pi_3 = C_1 * C_2 * C_3$ 4. $\Delta = 1 - \sum \Pi_1 + \sum \Pi_2 - \sum \Pi_3$ (Netzwerkdeterminante) 5. $\Delta_i = \dots$ (Kofaktoren; fast identisch mit Schritt 3+4) (Vorwärtspfade mit Schleifen, die sich nicht berühren) 6. $G(s) = \frac{1}{\Delta} * (P_1 * \Delta_1 + P_2 * \Delta_2 + \dots)$ |
| <p>Parallelschaltung</p> | |
| <p>Rückkopplung</p> | |
| <p>Mischstelle nach vorne</p> | |
| <p>Mischstelle nach hinten</p> | |
| <p>Verzweigungsstelle nach vorne</p> | |
| <p>Verzweigungsstelle nach hinten</p> | |

$$F_{geschlossen} = \frac{\text{Vorwärtspfad}}{1 \pm \text{Schleifenpfad}}$$

Vorzeichenwechsel beachten!!

Rückgekoppelte Glieder

| | | | | | | |
|--|-----------|-----|------|-----|--|------------------------------|
| | von \ mit | D | PD | PT1 | Von einem Glied Von mehreren Gliedern | siehe Pfeil siehe Tabelle |
| | I | P | PI | IT1 | | |
| | PT1 | DT1 | PDT1 | PT2 | | |
| | | | | | | |

DC-Motor

Wirkungskette: $U \rightarrow I \rightarrow M_i \rightarrow \dot{\omega} \rightarrow \omega \rightarrow \varphi$

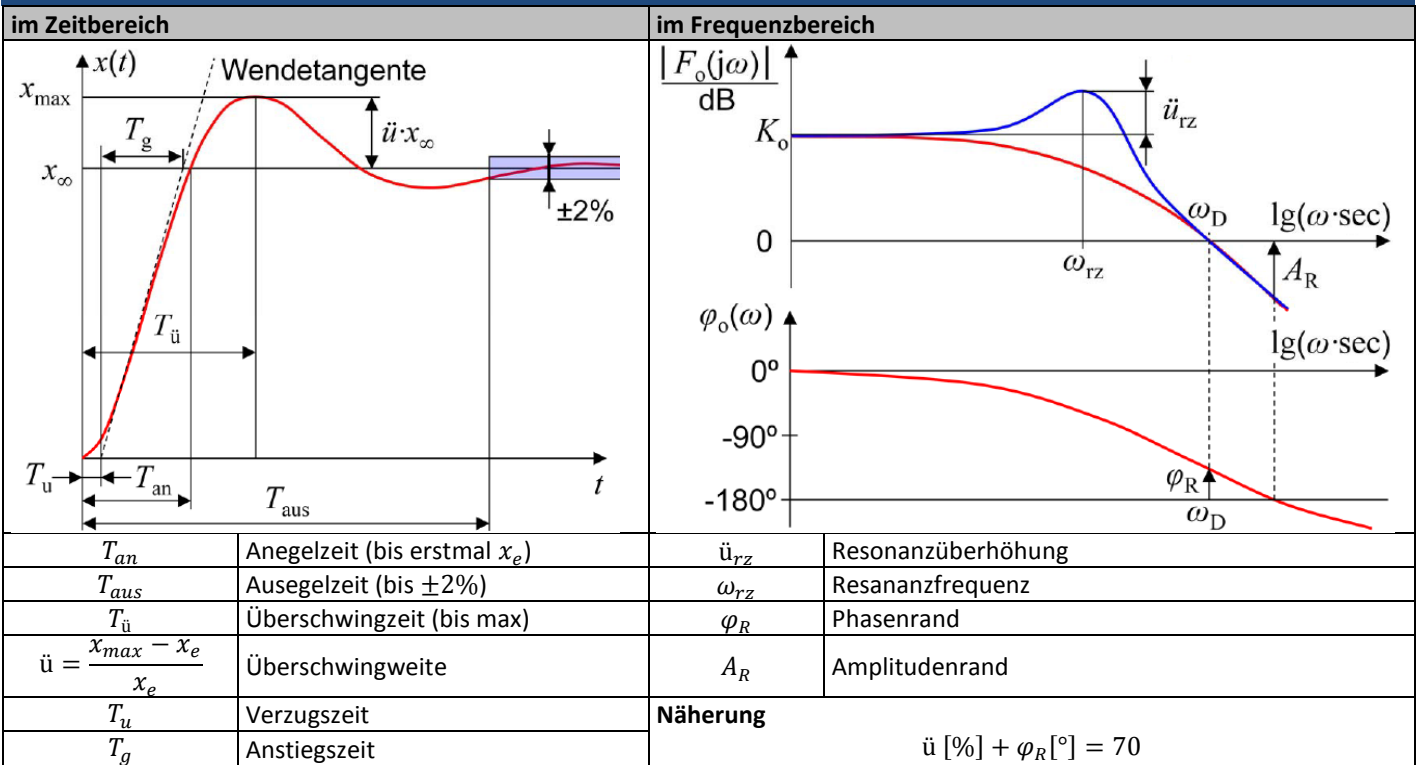
elektrisches Ersatzmodell

mechanisches Ersatzmodell

| | |
|-------------------|---|
| $U = U_{Mot}$ | Motorspannung $U = U_q + U_R$ |
| U_q | Induzierte Spannung $U_q(t) = k_M * \omega(t)$ |
| $I = I_{Mot}$ | Motorstrom |
| R | Widerstand der Ankerwicklung |
| L | Induktivität der Ankerwicklung |
| $T = \frac{L}{R}$ | Ankerzeitkonstante |
| k_M | Motorkonstante |
| k_{reib} | Trägheitsmoment des Antriebs (Motor+Last) |
| J | Winkelgeschwindigkeit |
| ω | erzeugtes Motormoment $M_i = M_M$ $M_i(t) = k_M * I(t) = M_B + M_R$ |
| $M_i = M_M$ | Belastungsmoment $M_B = M_L$ |
| $M_B = M_L$ | Reibmoment M_R |
| M_R | Getriebebeiwert k_G |
| k_G | Winkel φ |
| φ | Drehzahl: $PT_2 - \text{Glied}$ $G_\omega(s)$ |
| $G_\omega(s)$ | Drehwinkel: $PT_2 + I - \text{Glied}$ $G_\varphi(s)$ |

$$G_\omega(s) = \frac{\omega(s)}{U(s)} = \frac{k_M}{1 + s * \tau_m + s^2 * \tau_m * \tau_{el}}, \quad G_\varphi(s) = \frac{\varphi(s)}{U(s)} = \frac{k_G}{s} * G_\omega(s)$$

Kennwerte einer Regelung



Betragsoptimum

| | | |
|--|---|---|
| $ F_W(j\omega) = 1$ bis zu möglichst hohen Frequenzen | Formeln für Betragsoptimum | |
| -> indem möglichst viele Potenzen von ω verschwinden | $F_0(s) = \frac{1}{2 * T * s * (1 + sT)}$ | $F_W(s) = \frac{1}{1 + 2T_1s + 2T_1^2s^2}$ |
| $\omega_D = \frac{1}{T}$, möglichst gross, $\tau = T$, möglichst klein | danach Koeffizientenvergleich | |
| mit $\omega^2 = 0$ | $D = \frac{1}{\sqrt{2}}$ | $k = 1 \quad \omega_n = \frac{1}{\sqrt{2} T_1}$ |

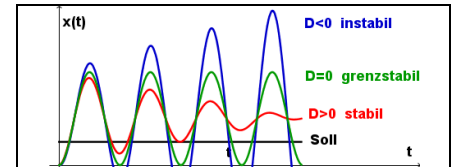
4 Anforderungen an den Regelkreis

Stabilität

asymptotisch stabil: Es gibt keine Anfangsbedingung und keine beschränkte Eingangsgrösse $x_e(t)$, sodass die $\lim_{t \rightarrow \infty} g(t) = 0$

Variante a) Bodediagramm- $G_0(s)$ untersuchen -> Stabilität von $G_W(s)$

| bei $ G_0(j\omega) = 1$ | bei $\phi = -180^\circ$ | sonst |
|--|---|--------------|
| $\phi = \begin{cases} < -180^\circ & \text{stabil} \\ = -180^\circ & \text{grenzstabil} \\ > -180^\circ & \text{instabil} \end{cases}$ | $ G(j\omega) \begin{cases} < 1 & \text{stabil} \\ = 1 & \text{grenzstabil} \\ > 1 & \text{instabil} \end{cases}$ | immer stabil |



Variante b) Stabilität des Nennerpolynom der Übertragungsfunktion untersuchen

| | |
|--------------------|---|
| stabil | im Nennerpolynom von $G(s)$ sind alle Koeffizienten von s enthalten und besitzen das gleiche Vorzeichen → alle Polstellen der Übertragungsfunktion haben einen negativen Realteil → Polstellen in der linken Ebene |
| instabil | mindestens eine Polstelle der Übertragungsfunktion einen positiven Realteil hat |
| grenzstabil | Polstellen liegen auf der imaginären Achse |

Ausreichende stationäre Genauigkeit

| Ziel | Berechnung | Resultat | |
|-----------------------------------|--|--------------------------|---|
| Übertragung auf 1 $F_W(s) = 1$ | $F_W(s) = \frac{F_0(s)}{1 + F_0(s)} \rightarrow \lim_{t \rightarrow \infty} x(t) = \lim_{s \rightarrow 0} s F_W(s) W(s)$ | I-Anteil im Regler | stabil (=1) |
| | | I-Anteil in Regelstrecke | stabil (=1) |
| Störung auf 0 $F_Z(s) = 0$ | $F_Z(s) = \frac{F_S(s)}{1 + F_0(s)} \rightarrow \lim_{t \rightarrow \infty} x(t) = \lim_{s \rightarrow 0} s F_Z(s) Z(s)$ | I-Anteil im Regler | stabil (=0) |
| | | I-Anteil in Regelstrecke | instabil ($\frac{d_R}{n_R}$) -> Regelfehler |

Grundprinzip: $e_{\infty} \rightarrow 0$, Untersuchung mit dem Laplaceschen Endwertsatz

Ausreichende Dämpfung **genügen schnell**

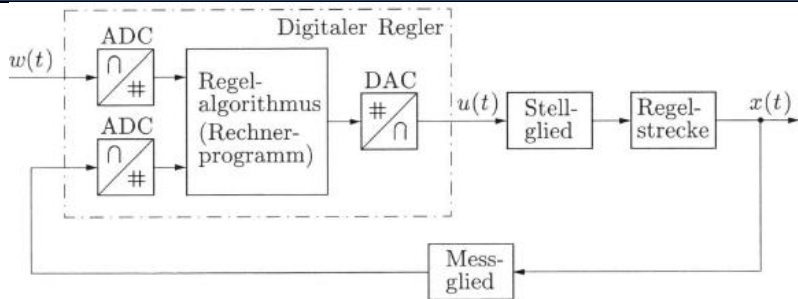
| | | | | |
|--------------------------------|--|--------------------------------|--|---|
| wenn $D \uparrow$ | $\ddot{u} \downarrow$ (Überschwingweite) | wenn $T_{\ddot{u}} \downarrow$ | dann $\omega_D \uparrow$ (Durchtrittsfrequenz) | da $T_{\ddot{u}} \sim \frac{\pi}{\omega_D}$ |
| | $\phi_R \uparrow$ (Phasenrand) | | des Amplitudengangs | |
| des aufgetrennten Regelkreises | | Ziel | ω_D von $F_0(s)$ möglichst weit nach rechts (grosse Bandbreite) | |

Reglerentwurf

| | |
|---|---|
| Nach Ziegler-Nichols | Verfahren nach Chien, Hrones und Reswick |
| P-Regler an Stabilitätsrand bringen → k_{krit} Periodendauer der Dauerschwingung messen → T_{krit} in Tabelle schauen → k_R, T_N, T_V | Sprungantwort annähern durch $T_t + PT_1$ -Glied $F_s(s) = K_s * \frac{e^{-sT_t}}{1 + sT_s} \text{ (Totzeit + } PT_1 \text{ - Glied)}$ |
| Falls experimentieren gefahrlos möglich ist | praktisch, da Verzögerung und kein Überschwingen |

Kaskadenregelung = mehrere Teilsysteme in Reihe

Digitale Regelung (Abtastregelung)



Abarbeitung in äquidistanten Abtastpunkten
Sind heutzutage Standard
Abtastzeit (Sampling Time) T_s
Faustregel: $T_s = 0.05 \dots 0.1$
$$\frac{de}{dt} \Rightarrow \frac{e(kT_s) - e[(k-1)T_s]}{T_s}$$

$$\int_0^t e(\tau) d\tau \Rightarrow T_s \sum_{i=0}^k e(iT_s)$$

 y_k : Stellungsalgorithmus (Integration im Rechner)
 Δy_k : Geschwindigkeitsalg. (Integr. in Regelstrecke)

Integrator-Windup: falls Stellgröße begrenzt und I-Anteil vorhanden
Anti-Windup: Verhinderung des starken Überschreitens der Sollgröße

Linearisierung und Modellbildung

| | |
|---|--|
| Theoretische Modellbildung | Experimentelle Modellbildung (Identifikation) |
| el. Schaltung → $F_s(s) = \frac{u_a}{u_e}$ → Glied | 1. $x_e(t) = \sigma(t) * A$ |
| mech. Aufbau → $\sum \vec{F} = m * \vec{a}$ → DGL → $F_s(s)$ → Glied | 2. Aufnahme: $x_a(t) = g(t) * A$ |
| lineare DGL $\sum_{i=0}^N a_i x_e^{(i)}(t) = \sum_{j=0}^N a_j x_a^{(j)}(t)$ | 3. Ableitung: $h(t) = \frac{dg(t)}{dt}$ |
| nichtlineare DGL $x^2(t) + \dot{x}(t) = y^3(t) + \dot{y}^2(t)$ -> Linearisierung im Arbeitspunkt | 4. Rücktransform. $h(t) \circ \bullet F_s(s)$ |

Linearisierung

| | |
|---|---|
| Vorgehen | Schlussfolgerung |
| 1. Ermittlung der Ruhelagen 2. Abweichungen bestimmen 3. Linearisieren mit Taylor | <ul style="list-style-type: none"> Linearisierung gilt falls $\Delta x_a, \Delta x_e$ klein sind $F_s(s)$ ist abhängig von AP (Arbeitspunkt) Annäherung durch die Tangente im Arbeitspunkt |
| | $0 = f(x_{a0}, x_{e0})$ $\Delta x_a = x_a - x_{a0}$ $\Delta x_e = x_e - x_{e0}$ $\Delta \dot{x}_a = \dot{x}_a$ |
| | $x_a(t) = f(x_{a0}, x_{e0}) + \frac{df(x_a, x_e)}{dx_a} * (x_a - x_{a0}) + \frac{df(x_a, x_e)}{dx_e} * (x_e - x_{e0})$ |

Formel vom Praktikum $G_O(s) = \frac{K_R K_{Mot}}{s \tau_{mech} (1 + s T_{RC})}$

| Elektrotechnik | | |
|------------------------------|--|---|
| R | $u(t) = R * i(t)$ | $U(s) = R * I(s)$ $\underline{Z} = R$ |
| L | $u(t) = L * \frac{di(t)}{dt}$ $i(t) = \frac{1}{L} \int u(t) dt$ | $I(s) = \frac{U(s)}{L * s}$ $U(s) = L * s * I(s)$ $\underline{Z} = j\omega L$ |
| C | $i(t) = C * \frac{du(t)}{dt}$ $u(t) = \frac{1}{C} \int i(t) dt$ | $I(s) = C * s * U(s)$ $U(s) = \frac{1}{C * s} I(s)$ $\underline{Z} = -j \frac{1}{\omega C}$ |
| Maschensatz, Spannungsteiler | | |
| | | $\frac{U_2}{U} = \frac{R_2}{R_1 + R_2}$ |

| Mechanik | |
|--|---------------------------------------|
| Statik | $\sum_{i=1} \vec{F}_i = 0$ |
| Dynamik | $\sum_{i=1} \vec{F}_i = m * \ddot{s}$ |
| $m * \ddot{x} = F(t) - k_{dämpf} * \dot{x} - k_{feder} * x$ | |
| $G(s) = \frac{X(s)}{F(s)} = \frac{1}{ms^2 + k_{dämpf}s + k_{feder}}$ | |